と Eco-Environmental Knowledge Web



ENVIRONMENTAL SCIENCE

ISSN 0250-3301 CODEN HCKHDV HUANJING KEXUE

- 主办 中国科学院生态环境研究中心
- ■出版科学出版社





2020

Vol.41 No.8 第41卷 第8期

## ENVIRONMENTAL SCIENCE

第41卷 第8期 2020年8月15日

## 目 次

福生大语的与26气血污染危急从排降能效果化分析 # 排棄。周期、程水源、至岭,再定为(349) - 下法排布企致整价体 SORROPIA 国民党结果及气溶胶 中的影响图案
中地区黄河市一、在更受污染期间 PM。。中 12 种流性无索特征及来源解析 中地区黄河市一、在更受污染期间 PM。。中 12 种流性无索特征及来源解析 陈
中越区复门市一处重度污染期间 PM 。中 12 种战 显示此致远及来源解析
游話、不知為主人。
情形表域区冬季不阿污染水平大气 VOCs 特征及照解析
情生、房生、肾炎、多环类、粉宁、李生、兔为龙、绿生、邓小文(3492) 用作某被区冬季不阿污染水平大气 VOCs 特征及照解析
情形表域区冬季不阿污染水平大气 VOCs 特征及照解析
情形表域区冬季不阿污染水平大气 VOCs 特征及照解析
州市英級区冬季不同污染水平大气 VOC.等征及聯解析  李一升、产沙沙、紫黑芹、干洁点、易使、紫亮(3500) 江东省前2002 - 2018 年生物现後继伸等整处任有整数的相关性  朱本慧、王信、爱欢、原司生、李和、正居贺(3511) 方常见绿化树静 BVOC.排放特征及其与充合作用参数的相关性  高平、庄立、王龙、陵海岸、四兔、江边、克龙、克油洋、马龙系(3518) 州地区伐季不同动点类型地面厚桌变化特征与影响同子  《中草、大龙、防海岸、四兔、江边、克龙、防海岸、四兔、江边、克龙、防海岸、四兔、江边、克龙、克油洋、马龙系(3518) 州地区伐季不同动点类型地面厚桌变化特征与影响同子  《中草、大龙、防海岸、四兔、江边、克龙、防海岸、四兔、江边、克龙、防海岸、四兔、江边、克油、叶龙(3527) 安市高校校园地表灰土宝金层污染处新皮健康风险评价  "男子菜、史皮式、炉房菜、鲜新牛、衬料用、6条6(3547) 安市高校校园地表放土宝金层污染外部医营生。 一个"大龙",大龙",大龙",大龙",大龙",大龙",大龙",大龙",大龙",大龙",
江三角灣 2010 - 2018 年生物疾燃烧中等库发性有机物(IVOCs) 排除清单
州地区较多不同站点类型值面具氧变化特征与影响因子
安市大QQ氧污染特征及被感化分析
安市高校民間地表灰生重金国污染来源解析
安市高校民間地表灰生重金国污染来源解析
[ ] 市船舶控制区大气污染物排放清单生污染特征
[ ] 市船舶控制区大气污染物排放清单生污染特征
于交通流的成都市高分蔣率机动车排放清单建立
一元人机多光谱影像和OPT-MPP 算法的水质参数反演 黄昕,应哧蜂,夏凯,冯海林,杨垠晖,杜晓晨(3591)同水体分层均近税物间限水氮素垂向分布影响。以三峡水库和八湾水库为例
同水体分层对沉积物间歇水氯素垂向分電影响,以三峡水库和小湾水库为例
刘静思、朱晓声、胡子龙、张思思、杨正健、纪道斌、刘德富(3601)  南河道表层水及沉积物中微塑料的污染现状与污染行为
而河道去层水及沉积物中微塑料的污染现状与污染行为 梅河道浮游植物群落结构时空变化特征及影响因素分析
海河道浮游植物群落结构时空变化特征及影响因素分析  ***********************************
等花等、除小单、洗根样、朱英、钱晓雍、张心良、张卫、胡双庆,白玉杰(3621)  第化钙(CaO <sub>2</sub> )联合生物炭对河道底泥的修复。
于双同位素(8 <sup>th</sup> N-NO <sub>5</sub> -8 <sup>th</sup> O-NO <sub>5</sub> )和 IsoSource 模型的岩溶槽合区地下水硝酸盐来源的定量示踪
于双同位素(8 <sup>th</sup> N-NO <sub>5</sub> -8 <sup>th</sup> O-NO <sub>5</sub> )和 IsoSource 模型的岩溶槽合区地下水硝酸盐来源的定量示踪
徐璐, 蒋勇军,段世辉,何端亮(3637)   徐瑶,蒋勇军,段世辉,何端亮(3637)
度城镇化地区城市小区降雨径流污染特征及负荷估算     高斌,许有鵬,枯苗,林芷欣,徐兴(3657)
度城镇化地区城市小区降雨径流污染特征及负荷估算
化生物膜系统对低温的适应特性; MBBR 和 IFAS
质硫自养短程反硝化耦合厌氧氨氧化强化脱氮 方文烨,李祥,黄勇,郭超然,胡羽婷,陶仁杰(3699) 歇梯度曝气的生活污水好氧颗粒污泥脱氮除磷 张玉君,李冬,李帅,张杰(3707) 于不同废污泥源的短程反硝化快速启动及稳定性 张星星,王超超,王垚,徐乐中,吴鹏(3715) 于 AHP-PROMETHEE II 法的鸟类石磷回收污泥预处理方案决策 刘吉宝,牛雨彤,郁达伟,谭颖锋,左壮,魏源送(3731) 于厌氧膜生物反应器的剩余污泥-餐厨垃圾厌氧共消化性能 戴金金,牛承鑫,潘阳,陆雪琴,甄广印,郑朝婷,张瑞良,何欣昱(3740) 剂量抗生素诱导抗性基因水平迁移 袁其懿,CHEN Hong-jie,Laurence Haller,何义亮(3748) 对新娘妇鼠 flexneri 细菌四环素抗性基因抗性表达的影响过程 高品,阮晓慧,邱文婕,薛罡,钱难洁(3758) 股对氨氧化菌和亚硝酸盐氧化菌的竞争性选择 乔昕,王博,郭媛媛,彭永臻(3765) 温冲击对亚硝酸盐氧化边程中微生物菌群结构影响 侯晓薇,牛永健,李维维,王光杰,孙洪伟(3773) 生物种间相互作用产生锰氧化的普适性及其潜在应用 宁雪,梁金松,柏耀辉,廖佗玲俐,刘会娟,曲久辉(3781) 亚河红树林表层沉积物中好氨氨氧化微生物的分布特征及潜在硝化速率 罗晴,甄毓,彭宗波,贺惠(3787) 实碳输入对新疆天山雪岭立长沙田龙山大海(3787) 京晚输入对新疆天山雪岭云杉林土壤呼吸的短期影响 方矣堃,罗小三,张丹,吴礼春,邱丹,陈志炜,赵朕(3797) 变碳输入对新疆天山雪岭云杉林土壤呼吸的短期影响 历景文,罗小三,张丹,吴礼春,邓升,陈志炜,赵朕(3797) 变碳输入对新疆天山雪岭云杉林土壤呼吸的短期影响 原,黄建洪,伊海、京郑,广建滨,郭珈玮,张文聪,朱海强(3804) 机无配能对不同程度盐渍土 N <sub>2</sub> O 排放的影响 周慧,史海滨,郭珈玮,张文郎,朱海强(3811) 位电阻热脱附土壤升温机制及影响因素
于 AHP-PROMETHEE II 法的鸟粪石磷回收污泥预处理方案决策
于 AHP-PROMETHEE II 法的鸟粪石磷回收污泥预处理方案决策
于 AHP-PROMETHEE II 法的鸟粪石磷回收污泥预处理方案决策
价铁对厌氧消化过程中氨氮抑制解除的影响                                    刘言宝,牛雨形,郁达伟,谭颖锋,左壮,魏源送(3731) 于厌氧膜生物反应器的剩余污泥-餐厨垃圾厌氧共消化性能
于厌氧膜生物反应器的剩余污泥-餐厨垃圾厌氧共消化性能 ·· 戴金金,牛承鑫,潘阳,陆雪琴,甄广印,郑朝婷,张瑞良,何欣昱(3740)剂量抗生素诱导抗性基因水平迁移 ····································
剂量抗生素诱导抗性基因水平迁移                       袁其懿,CHEN Hong-jie,Laurence Haller,何义亮(3748) 环素胁迫对 Shigella flexneri 细菌四环素抗性基因抗性表达的影响过程       高品,阮晓慧,邱文婕,薛罡,钱雅洁(3758) 胺对氨氧化菌和亚硝酸盐氧化菌的竞争性选择          乔昕,王博,郭媛媛,彭永臻(3765) 温冲击对亚硝酸盐氧化过程中微生物菌群结构影响      侯晓薇,牛永健,李维维,王光杰,孙洪伟(3773) 生物种间相互作用产生锰氧化的普适性及其潜在应用     宁雪,梁金松,柏耀辉,廖恺玲俐,刘会娟,曲久辉(3781) 亚河红树林表层沉积物中好氧氨氧化微生物的分布特征及潜在硝化速率     罗晴,甄毓,彭宗波,贺惠(3787) 氧污染对水稻生长、产量及矿质金属元素含量的影响      方笑堃,罗小三,张丹,吴礼春,邱丹,陈志炜,赵朕(3797) 变碳输入对新疆天山雪岭云杉林土壤呼吸的短期影响
环素胁迫对 Shigella flexneri 细菌四环素抗性基因抗性表达的影响过程      高品,阮晓慧,邱文婕,薛罡,钱雅洁(3758) 胺对氨氧化菌和亚硝酸盐氧化菌的竞争性选择
胺对氨氧化菌和亚硝酸盐氧化卤的竞争性选择
温冲击对亚硝酸盐氧化过程中微生物菌群结构影响
生物种间相互作用产生锰氧化的普适性及其潜在应用
亚河红树林表层沉积物中好氧氨氧化微生物的分布特征及潜在硝化速率 罗晴, 甄毓, 彭宗波, 贺惠(3787) 氧污染对水稻生长,产量及矿质金属元素含量的影响 方笑堃, 罗小三, 张丹, 吴礼春, 邱丹, 陈志炜, 赵朕(3797) 变碳输入对新疆天山雪岭云杉林土壤呼吸的短期影响 邓康, 贡璐, 何学敏, 陈文静, 张雪妮, 朱海强(3804) 机无机肥配施对不同程度盐渍土 N <sub>2</sub> O 排放的影响 周慧, 史海滨, 郭珈玮, 张文聪, 王维刚(3811) 位电阻热脱附土壤升温机制及影响因素 葛松, 孟宪荣, 许伟, 施维林(3822) 序灯心草作为酸性矿山废弃地先锋植物潜力 黄建洪, 伏江丽, 严鑫睿, 尹凤, 田森林, 宁平, 李英杰(3829) 灌方式和生物质炭对温室土壤矿质态氮及其微生物调控的影响 蔡九茂, 刘杰云, 邱虎森, 吕谋超, 周新国(3836) 秆炭调控对碱性镉污染水稻根际土壤真菌群落结构和功能的影响 刘师豆, 韩耀光, 朱新萍, 吴相南(3846) 同水分管理模式联合叶面喷施砫肥对水稻 Cd 累积的影响
氧污染对水稻生长、产量及矿质金属元素含量的影响 方笑堃,罗小三,张丹,吴礼春,邱丹,陈志炜,赵朕(3797)变碳输入对新疆天山雪岭云杉林土壤呼吸的短期影响 邓康,贡璐,何学敏,陈文静,张雪妮,朱海瑶(3804)机无机肥配施对不同程度盐渍土 N <sub>2</sub> O 排放的影响 周慧,史海滨,郭珈玮,张文聪,王维刚(3811)位电阻热脱附土壤升温机制及影响因素 葛松,孟宪荣,许伟,施维林(3822)序灯心草作为酸性矿山废弃地先锋植物潜力 黄建洪,伏江丽,严鑫睿,尹凤,田森林,宁平,李英杰(3829)灌方式和生物质炭对温室土壤矿质态氮及其微生物调控的影响 蔡九茂,刘杰云,邱虎森,吕谋超,周新国(3836)秆炭调控对碱性镉污染水稻根际土壤真菌群落结构和功能的影响 郊师豆,韩耀光,朱新萍,吴相南(3846)同水分管理模式联合叶面喷施砫肥对水稻 Cd 累积的影响
变碳输入对新疆天山雪岭云杉林土壤呼吸的短期影响
机无机肥配施对不同程度盐渍土 N <sub>2</sub> O 排放的影响
位电阻热脱附土壤升温机制及影响因素 ····································
序灯心草作为酸性矿山废弃地先锋植物潜力
灌方式和生物质炭对温室土壤矿质态氮及其微生物调控的影响 ····································
秆炭调控对碱性镉污染水稻根际土壤真菌群落结构和功能的影响 ····································
同水分管理模式联合叶面喷施硅肥对水稻 Cd 累积的影响 ······
同水分官埋陧云联台叶面喷施硅肥对水稻 Cd 紧枳的影啊 ······
在上上 阿拉、11011 由上班 拉比 老司 In一日 上地區 100 10011 11011
魏宾坛,周航,刘佳炜,张竞颐,黄芳,霍洋,胡雨丹,辜娇峰,刘俊,廖柏寒(3855)
合剂 GLDA 对象草修复镉污染农田的影响 ······················ 覃建军,唐盛爽,蒋凯,黄敬,侯红波,龙坚,彭佩钦(3862) 植业面源污染防控技术发展历程分析及趋势预测 ·························· 俞映倞,杨林章,李红娜,朱昌雄,杨根,薛利红(3870)
F境科学》征订启事(3636) 《环境科学》征稿简则(3764) 信息(3538, 3628, 3724)

# 厦门市船舶控制区大气污染物排放清单与污染特征

王坚,黄厔,刘艳英,陈森阳,吴艳聪,何月云,杨心怡(厦门市环境科学研究院,厦门 361021)

摘要:以船舶自动识别系统(automatic identification system, AIS)数据,结合大量厦门港口实地调查信息,采用自下而上的动力 法对在控制区内航行的船舶进行逐艘计算,得出 2018 年厦门市船舶控制区大气污染物排放清单,并详细分析了其污染物排放 特征及时空分布.结果表明,2018 年厦门市船舶控制区内船舶污染物排放总量共16 413 t,其中进出港船舶污染物排放占82.2%,未进港船舶占17.8%,各污染物中以 NO<sub>x</sub> 的排放量最大,占比达64.2%,不同航行状态下污染物排放量的顺序为停泊 >巡航 >低速巡航 > 机动操控 > 锚泊,控制区内船舶的主要污染来源于货船,并以集装箱船的污染物排放量为最大;1 d中09:00~16:00 处于船舶污染物排放高峰期,1 a中以2月的排放量为最低,3月和5月出现排放峰值;空间特征上各污染物排放高值主要分布于主航道和港区海岸线.

关键词:厦门港;排放清单; AIS 动力法;排放特征;时空分布

中图分类号: X51 文献标识码: A 文章编号: 0250-3301(2020)08-3572-09 DOI: 10.13227/j. hjkx. 202001067

# Vessels' Air Pollutant Emissions Inventory and Emission Characteristics in the Xiamen Emission Control Area

WANG Jian, HUANG Zhi, LIU Yan-ying, CHEN Sen-yang, WU Yan-cong, HE Yue-yun, YANG Xin-yi (Xiamen Research Academy of Environmental Science, Xiamen 361021, China)

Abstract; Based on the automatic identification system (AIS) data and large field survey datasets for Xiamen port, the activity-based approach was used to calculate the emissions from each sailing ship in the Xiamen Emission Control Area (XECA), and to obtain the 2018 air emissions inventory for the XECA. This study subsequently analyzed the emission characteristics and spatiotemporal distribution characteristics of pollutants. The results showed that in 2018, the total amount of pollutants discharged from ships in the XECA was 16 413 t, of which 82.2% were from ships entering and leaving the port and 17.8% were from ships outside of the port. NO<sub>x</sub> emissions were the highest among all of the pollutants and accounted for 64.2% of the total. Comparing the results of the five modes, emissions at berth were the highest, which was followed by the cruise mode, reduced speed-zone mode and maneuvering mode, and finally, the hoteling mode. In addition, the analysis indicated that the main source of pollutant emissions in Xiamen Port was cargo ships, of which, container ships contributed the most. The peak period of pollutant emissions from ships was between 09:00 and 16:00. The emission value during February was the lowest over the year, whereas the highest emission values occurred mostly during March and May. In terms of the spatial distribution, this study revealed that the main channel and port coastline had the highest emission values.

Key words: Xiamen Port; emission inventory; AIS activity-based approach; characteristics of emission; spatio-temporal distribution

海上贸易的繁荣是港口城市经济发展的重要推 动力,但是随着水路运输和港口建设的发展,船舶运 输活动对港口城市大气环境质量的影响也日益显 著「1~5]. 厦门港是我国沿海主要港口之一,是我国综 合运输体系的重要枢纽、集装箱运输干线港和对台 航运主要口岸.同时,厦门港又是一个复式港湾,海 域封闭,群山环绕,大气交换能力较弱[6],航运业的 飞速发展,使得船舶运输活动对厦门市大气环境质 量的影响不容忽视;王征等[7]的研究表明,90%的 船舶排放发生在海岸线至领海基线外96海里范围 内,即距离陆地 200 km 的海域内. 国外学者对船舶 大气污染物排放及其影响研究起步较早, 2009 年 Jalkanen 等[8]首次利用船舶自动识别系统(AIS)数 据建立排放模型,估算波罗的海船舶 NOx、SOx、 CO, 、PM 和 CO 的排放量, 至今, 如希腊[9]、西班 牙[10]和美国洛杉矶港[11,12]等多地均有较深入的船 舶排放研究. 我国对船舶污染物排放的研究相对较少,少数几个沿海地区在参考国外研究成果基础上,初步开发了当地港口的船舶大气污染物排放清单,如广东省<sup>[13]</sup>、深圳市<sup>[14]</sup>、上海港<sup>[15-17]</sup>、天津港<sup>[18]</sup>、青岛港<sup>[19]</sup>、宁波舟山港<sup>[20]</sup>、珠江三角洲<sup>[21]</sup>以及龙潭集装箱港<sup>[22]</sup>等船舶排放清单. 本研究选择本地中速船舶开展排放因子测试,验证所选择的船舶基准排放因子的准确性,根据每一艘船舶的航行轨迹和行驶工况进行逐艘船舶的污染物排放清单的计算,建立了高精度的 100 m×100 m 污染物排放网格数据库,分析船舶控制区内的污染物排放的时空分布特

收稿日期: 2020-01-08; 修订日期: 2020-02-24

基金项目:福建省自然科学基金项目(2015,J01626);厦门市清洁空气行动计划项目(厦府办[2014]17号)

作者简介: 王坚(1961~),女,教授级高级工程师,主要研究方向为 环境科学、环境影响评价、环境监测及大气污染防治,Email:xmwangjian@sina.com 征,以期为有效防治船舶大气污染与绿色港口减排成效评估提供可靠的技术支撑.

#### 1 材料与方法

本文以厦门市船舶控制区为研究区域,以 2018 年为基准年,通过对 AIS 数据的有效应用和实地调查,获得了各类型船舶静态和动态数据以及燃料油质量参数等信息.

#### 1.1 研究范围与航道限速

根据国家船舶大气污染物排放控制区实施方案<sup>[23]</sup>及厦门市绿色港口建设与管理规定,确定本研究的控制区域为海沧:E117°46.621′,N24°27.825′;翔安:E118°15.111′,N24°44.531′;控制区南:E118°23.280′,N24°0.900′;控制区北:E118°51.563′;N24°19.65′构成的区域.厦门海事局2018[1]号文规定了厦门海域船舶航速限制要求,航道限速情况见图1.



图 1 航道限速情况

Fig. 1 Channel speed limit

#### 1.2 船舶污染物排放清单估算方法

船舶大气污染物排放清单的计算根据 AIS 动态数据,采用自下而上的动力法进行逐条船的单独核算,然后分类统计的方式,其单船计算公式[11]为:

$$EF = BEF \times LCF \times FCF \times CF$$
 (1)

$$W = MCR \times LF \tag{2}$$

$$E = W \times EF \times Act \times 10^{-6} \tag{3}$$

式中, EF 为本地化船舶污染物排放因子  $[g\cdot(kW\cdot h)^{-1}]$ ; BEF 为船舶污染物基准排放因子,  $[g\cdot(kW\cdot h)^{-1}]$ ; LCF 为低负荷修正因子(仅对主机负荷进行修正); FCF 为燃油修正因子(根据本地使用的燃油含硫量确定); CF 为减排技术的控制因子(本文未考虑减排措施取 CF = 1); W 为船舶主机、辅机或锅炉实际功率(kW); MCR 为船舶主机、辅机或锅炉额定功率(kW); LF 为船舶主机负荷系数(该系数为实际航速与设计航速比值的三次方);

E 为船舶污染物排放量(t); Act 为船舶在不同航行状态下的运行时间(h).

鉴于船舶在不同的航行状态下,具有各自不同的污染物排放特征.本文综合国内外研究及厦门市航道限速情况,将船舶控制区内的航行分为巡航、低速巡航、机动操控、锚泊和停泊 5 种状态,根据船舶主机功率与英国劳氏船级社数据库的匹配情况,建立航行的判定依据(表1).

#### 表 1 船舶航行状态判定依据

Table 1 Basis of the ships' operating conditions

状态	已匹配船舶	未匹配船舶
巡航	主机负荷≥65%	航速≥12 节
低速巡航	20% ≤主机负荷 <65%,航速≥8	节 8 节≤航速 <12 节
机动操控	主机负荷 < 20%, 航速 > 3 节	3 节≤航速 <8 节
锚泊	1 节≤航速 < 3 节	1 节≤航速 <3 节
停泊	航速 <1 节	航速 <1 节

#### 1.3 研究资料获取

#### 1.3.1 船舶静态与动态数据库的建立

基于厦门市海事局提供的全年进出港船舶静态数据、厦门市公安局公共安全平台提供的所有无证船舶的静态数据、厦门船级分社和实地船舶综合信息的调查(包括发放230份调查表并收回90%有效资料)及船舶AIS的静态信息,建立包括船舶类型、IMO号、MMSI号、建造年份、船长、船宽、吃水、载重量、设计航速及主机、辅机、锅炉额定功率、锅炉油耗、不同航行工况下的辅机输出功率及锅炉使用情况等基础信息的船舶静态数据库. 获取AIS 动态数据,建立控制区内每艘船舶的航行轨迹数据库.

船舶污染物排放水平受油品质量、船舶建造年代和航行工况等因素影响.本文选用 2012 年美国洛杉矶港大气污染物排放清单的排放因子[11](表 2~3)作为基准排放因子;该排放因子是在硫含量为2.7%的重油基础上制定的,当船舶所用燃油硫含量不同于2.7%时,用燃油修正因子进行修正[12](表4);当船舶主机的负载低于20%时,由于发动机的热效率低下造成污染物排放的增加,必须进行主机低负荷修正[11,12](表5).

因所选的基准排放因子中无高速船舶的数据,本研究的高速船舶采用国家环境保护部发布的非道路移动污染源清单编制中的船舶大气污染物的排放因子<sup>[24]</sup>,调查国内高速船舶的设计油耗及本地产游艇的额定油耗,确定高速船舶和游艇的平均额定油耗分别为 213.5 g·(kW·h) <sup>-1</sup>和 221 g·(kW·h) <sup>-1</sup>. 根据港口管理部门提供的各类型无证船舶年平均活动水平和油耗,核算 2018 年该类型船舶中工作、渔业和货船的年耗油量分别为 693、2 965和2 679 t,共计6 337 t.

表 2 主机污染物基准排放因子/g· $(kW\cdot h)^{-1}$ 

	ctors for main engines/g·(kW·h) <sup>-1</sup>	sion factors	Emission	Table 2
--	---	--------------	----------	---------

机型	建造时间	$PM_{10}$	PM <sub>2.5</sub>	$NO_x$	$SO_2$	CO	НС
	1999 年前	1.50	1.20	18.1	10.5	1.4	0.6
低速柴油机[11]	2000~2010年	1.50	1.20	17.0	10.5	1.4	0.6
	2011~2015年	1.50	1.20	15.3	10.5	1.4	0.6
	1999 年前	1.50	1.20	14.0	11.5	1.1	0.5
中速柴油机[11]	2000~2010年	1.50	1.20	13.0	11.5	1.1	0.5
	2011~2015年	1.50	1.20	11.2	11.5	1.1	0.5
高速船1)		0.81	0.78	10.2	2.1	5.1	1.3
游艇1)		0.84	0.81	10.5	2.2	5.3	1.4
无证船舶 <sup>[24]</sup> (以約	然油计)/ g⋅kg <sup>-1</sup>	3.81	3.65	47.60	10	23.80	6. 19

<sup>1)</sup> 该类型船舶的排放因子已是本地基准排放因子,该因子对应的是硫含量为0.5% 轻质柴油

#### 表 3 辅机和锅炉污染物基准排放因子 $^{[11]}/g \cdot (kW \cdot h)^{-1}$

Table 3 Emission factors for auxiliary engines

and boilers/g • (kW • h) -1

类型	建造时间	$PM_{10}$	PM <sub>2.5</sub>	$NO_x$	$SO_2$	CO	НС
	1999 年前	1.5	1.2	14. 7	12. 3	1. 1	0.4
辅机	2000~2010年	1.5	1.2	13.0	12. 3	1.	0.4
	2011~2015年	1.5	1.2	11.2	12. 3	1.1/	0.4
锅炉		0.8	0.64	2. 1	16. 5	0. 2	0.1

表 4 燃油修正因子[12]

/ /	Table 4	Correction	on factors i	for fuel oil	1111111
燃油类型	含硫量/%	PM	NO <sub>x</sub>	SO <sub>2</sub>	CO HC
重油	1.5	0.82	1	0. 56	//1 A //
柴油	1.5	0. 47	0.9	0. 56	/ i) ///i
轻质柴油	0.5	0. 25	0.94	0. 18	1 (1
轻质柴油	0.2	0.19	0.94	0.07	14 L
轻质柴油	0.1	0. 17	0.94	0.04	

表 5 船舶主机低负荷修正因子[11,12]

Table 5 Correction factors for main engines under low loading

Table 5	Correction	i lactors for if	iam engines	under low i	oaumg
负荷/%	PM	$NO_x$	$\mathrm{SO}_2$	CO	HC
2	7. 29	4. 63	1	9. 68	21. 18
3	4. 33	2. 92	1	6.64	11.68
4	3.09	2. 21	1	4. 86	7.71
5	2. 44	1.83	1	3.89	5. 61
6	2.04	1.60	1	3. 25	4. 35
7	1. 79	1.45	1	2. 79	3. 52
8	1.61	1. 35	1	2. 45	2. 95
9	1.48	1. 27	1	2. 18	2. 52
10	1.38	1. 22	1	1.96	2. 18
11	1.30	1. 17	1	1. 79	1.96
12	1. 24	1. 14	1	1.64	1.76
13	1. 19	1.11	1	1. 52	1.60
14	1. 15	1.08	1	1.41	1.47
15	1. 11	1.06	1	1. 32	1.36
16	1.08	1.05	1	1. 24	1. 26
17	1.06	1.03	1	1. 17	1.18
18	1.04	1.02	1	1. 11	1.11
19	1.02	1.01	1	1.05	1.05
20	1	1	1	1	1

#### 1.3.2 控制区内船舶分布特征

厦门市船舶控制区内只有沿海船舶,因国内目

前尚无统一的船舶分类规定,本文按照用途,将2018年途经控制区的船舶划分为客运船舶(载客12人以上)、货运船舶(以载运货物为主和载客12个以下)、工作船舶(不直接参加客货运输专为港口生产服务)、工程船舶(在港口、航道等水域从事工程作业)和渔业船舶(从事渔业生产或为渔业生产服务)这5种类型,对于无证船舶(大多数为总吨位<500t的小型船舶)的污染物排放量单独计算后,按船舶分类分配至上述5种类型的船舶中.

2018 年厦门市船舶控制区船舶大气污染物排放清单计算的船舶共计7787艘,其中货船3272艘(集装箱货船1173艘,其它货船2099艘)、客船155艘、工作船舶95艘、工程船舶88艘、渔业船舶1420艘和无证货船2757艘.本年度进出港船舶合计168456艘次,控制区内直行未进港和作业未进港船舶共计15208艘次.

2018年厦门市船舶控制区内船舶分布(图2)中集装箱船舶占15.1%、干、散、杂货及油船占23.8%,以无证船舶为主的其它货船占38.6%,呈现了以货船为主、渔业船舶次之、其余船舶占比不足5%的特征;虽然厦门是邮轮母港,但2018年进出港邮轮数量仅为13艘,占比为0.2%,尚属起步阶段.

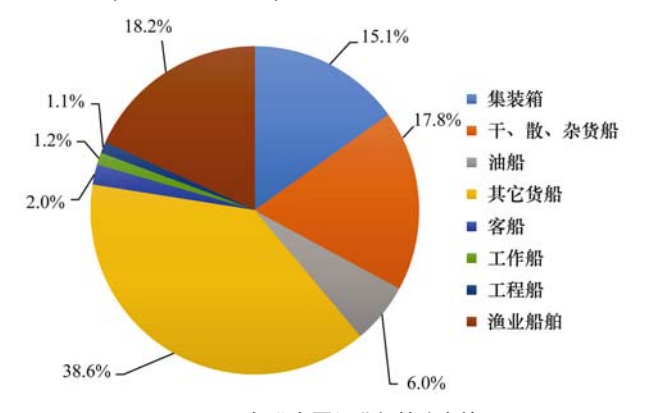


图 2 2018 年进出厦门港船舶分布情况

Fig. 2 Distribution of ships entering and leaving Xiamen port in 2018

#### 1.3.3 控制区内船舶活动水平

根据船舶航行状态的判断依据(表1),按每艘船舶的 AIS 轨迹数据结合船舶静态信息统计各类型船舶每个进出港周期(2艘次)的平均活动水平及其在不同航行状态下的辅机和锅炉使

用情况(表6). 另外,直行未进港船舶中货船占98.3%,在控制区内每艘次平均航行时间3.7 h,航行工况为巡航或低速巡航;作业船舶中捕捞船占96%,每艘次的平均作业时间为16.3 h,以锚泊或停泊状态为主.

表 6 各类型船舶不同航行工况的平均活动水平

Table 6	Average activity	level of	various types	of ships under	different navigation	conditions

	U	,	71 1	U		
船舶类型	项目	巡航	低速巡航	机动操控	锚泊	停泊
	每周期时长/min	16. 7	38. 2	29. 1	3.3	621. 9
货船 <sup>1)</sup>	平均航速/节	12. 8	9. 7	5. 9	1.8	_
	辅机功率占比3)/%	22	24	34	25	25
	每周期时长/min	55. 5	12. 3	6. 6	_	409
客船 <sup>2)</sup>	平均航速/节	16. 4	9.8	5. 7	_	_
台加	辅机功率/kW	_	_	60	60	60
	邮轮辅机/%	63. 1	63. 1	63. 1	63. 1	60. 7
	每周期时长/min	16. 2	53.8	153. 3	129. 3	2 195
工程船	平均航速/节	12. 6	9.8	5. 1	1.8	~~
	辅机功率占比3)/%	17	27	45	20	20
	每周期时长/min	28.8	36. 1	28. 2	12. 0	4 422
工作船	平均航速/节	13.0	9. 5	5. 9	11-	18
	辅机功率占比3)/%	~ - n	_	35	20	20
	每周期时长/min	2.2	37. 2	14. 8	1. 4	2 868
渔业船舶	平均航速/节	12. 6	9.9	5.7	1.8	-8)
	辅机功率占比3)/%	VHVA	_	35	20	20
/ 11 /	All II	11/10/15	m,	/	9 1	1

1) 货船锅炉油耗为 $0.5 \sim 1.842 \text{ t} \cdot \text{d}^{-1}; 2$ )客船中邮船的锅炉功率为3.690 kW; 3)辅机功率占主机的比例

各类型船舶均呈现停泊时间高于其它航行状态的特征,其中工作船、渔业船和工程船的停泊状态明显高于其它船舶,体现了这些船舶的工作特征;各类型船舶在巡航状态下的平均航速以客船为最高,在低速巡航、机动操控和锚泊状态下,各类型船舶的平均航速很接近,体现了控制区内不同航道的限速情况.

#### 1.3.4 控制区内船舶燃油硫含量

根据 2018 年海事局对进出港船舶进行的 500 多次的燃油硫含量检测数据的统计,拖轮所用柴油硫含量 0.001%~0.014%,平均为 0.008%;对其它船舶的用油测定硫含量为 0.001%~7.3%,其中,外贸货船和内贸集装箱船、油船使用平均硫含量为 1.5%的重油,停泊按规定使用硫含量 0.5%的轻质柴油,其余船舶燃油硫含量取平均值为 0.5% 的轻质柴油.

#### 2 结果与讨论

#### 2.1 控制区内船舶大气污染物排放清单

2018 年厦门市船舶控制区内所有船舶大气污染物排放总量16 413 t,其中:  $PM_{10}$  592 t、 $PM_{2.5}$  491 t、 $NO_x$  10 544 t、 $SO_2$  2 816 t、CO 1 755 t、HC 706 t,各类型船舶大气污染物排放情况见表 7.

根据 2018 年厦门市船舶控制区进出港船舶分布情况,虽然进出港船舶中集装箱船的比例仅为进出港船舶总数的 15.1%,但贡献了污染物排放总量的 64.6%;究其原因是集装箱船不仅单船污染物排放量大,且航行过程使用平均硫含量为 1.5% 重油所造成;进出港船舶中除集装箱船以外的货船占比为 62.4%,但仅贡献了污染物排放总量的 12.8%,与深圳市<sup>[13]</sup>的船舶污染物排放清单具有共性.客船、工作船、工程船和渔业船舶占进出港船舶的 22.5%,贡献了污染物排放总量的 22.6%,这些船舶除邮轮外,其它均使用硫含量为 0.001% ~ 0.5% 的轻质柴油、且辅机功率低、无锅炉等因素是其污染物排放较少的主要原因.

控制区内船舶大气污染物排放顺序为货船>渔业船>工作船>工程船>客船,且工作船、工程船和客船的污染物排放总量与渔业船舶的排放量相近,可见船舶大气污染物排放清单与控制区内船舶分布特征(1.3.2节)一致,真实反映了厦门船舶大气污染物排放情况.

#### 2.2 控制区内船舶大气污染物排放特征

控制区内船舶污染物排放总量表明,进出港船舶污染物排放占82.6%,未进港船舶占17.4%;各污染物中以NO,的排放量最大,占比达64.2%(图

Table 7	Vaccale?	amiaaian	increase	for Viamor	Dont :	n 2018/t•a	- 1
Table /	Vessels	emission	inventory	tor Alamer	ı Port 11	n ZUI8/I•a	

	类型	$PM_{10}$	$PM_{2.5}$	$\mathrm{NO}_x$	$\mathrm{SO}_2$	CO	HC
	货船船舶	401.4	329.5	6 784. 3	2 055. 2	916.4	333.2
	客船	13.6	11.2	447.4	104.2	101.6	33.9
进出港船舶	工作船	37.8	35.7	495.2	45.7	230.1	66.7
	工程船	22.5	18.8	550.2	102.1	105.5	60.1
	渔业船	18.5	16.6	438.7	70.2	98.3	30.4
未进港船舶	货船	42.8	34.2	844. 1	214.0	77.7	35.1
<b>个</b> 近他	渔业船	55.7	44.6	983.8	225.0	225.6	146.2
合计		592	491	10 544	2 816	1 755	706

3),SO<sub>2</sub> 次之,然后是 CO,与 2010 年上海港<sup>[15]</sup>和深圳市<sup>[14]</sup>船舶大气污染物排放特征具有相似性,与 2012 年大连海域远洋船舶(包括货船与邮轮)污染物排放特征<sup>[25]</sup>有差异,大连的污染物排放顺序为 NO<sub>x</sub>、SO<sub>2</sub> 和 PM<sub>10</sub>,其主要原因是大连进出港远洋船舶使用硫含量为 2.7% 的重油<sup>[25]</sup>,油品质量较厦门港差;由表 4 可见,油品质量提升对 PM 减排明显,当船舶处于航行时大连港船舶排放的 PM 比厦门港高 18%、处于停泊时大连港比厦门港高 75%,致使该港区船舶排放的 PM 数量相对较大.

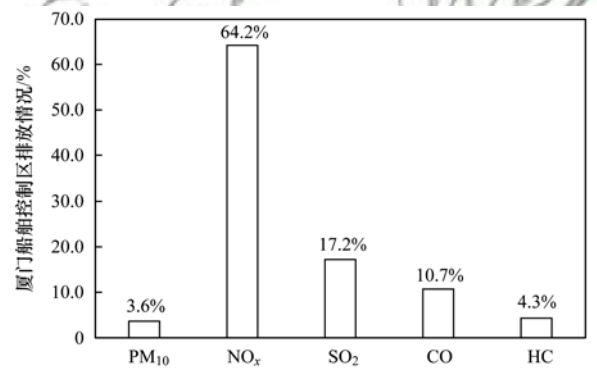


图 3 2018 年厦门港船舶控制区内船舶各污染物排放情况

Fig. 3 Pollutant emissions by vessels in the Xiamen Port ECA in 2018

2018 年 厦门进出港船舶污染物排放总量13 563.2 t,各类型船舶中以货船污染物排放占比最高,达到77.4%,而客船、工作船、工程船和渔业船舶的污染物排放量相近(图 4).与控制区内所有船舶的污染物排放总量相比,货船的排放量更大,因此货船的污染物排放控制是厦门港的重要防控方向.

#### 2.3 不同航行工况下的污染物排放特征

因不同航行工况下,船舶的主机、辅机输出负荷和锅炉的使用情况和活动时长有很大差异,造成了不同航行状态下污染物排放量的差异性变化. 2018年进出港船舶各航行工况下污染物排放量的顺序为:停泊>巡航>低速巡航>机动操控>锚泊(图5),各类型船舶呈现的停泊时间高于其它航行状态的特征,及邮轮和大部分货船停泊时均使用锅炉,使

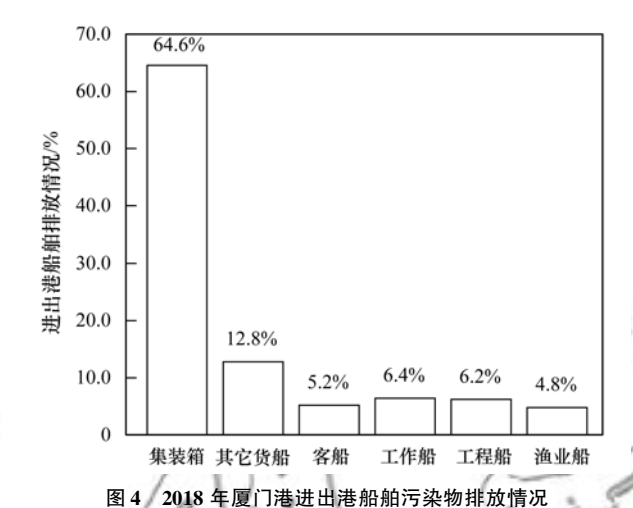


Fig. 4 Pollutants Emissions by different types of ship entering and leaving Xiamen Port in 2018

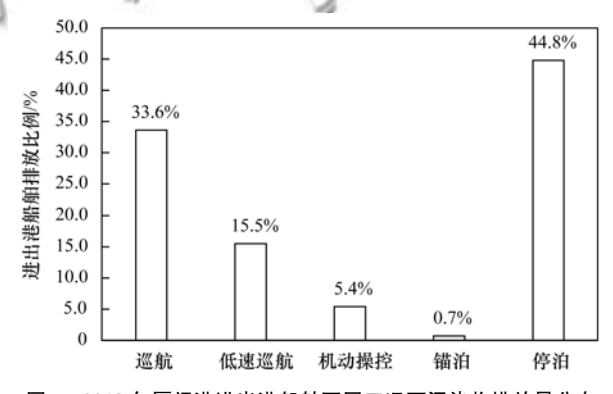


图 5 2018 年厦门港进出港船舶不同工况下污染物排放量分布 Fig. 5 Air pollutant emission shares of vessels entering

and leaving Xiamen Port via different operation modes

得停泊状态下污染物的排放量最大.

表 8 分别统计各污染物在不同工况下的排放情况,其中巡航状态排放量占比较大的污染物有颗粒物、SO<sub>2</sub> 和 NO<sub>x</sub>,产生这一现象的主要原因是大部分货船和邮轮使用重油所致;而停泊状态排放量占比较大的污染物是 CO、HC 和 NO<sub>x</sub>,体现了船舶辅机和锅炉的污染物排放与主机存在差异及船舶普遍停靠时间长的特征;同时,SO<sub>2</sub> 的排放具有特殊性,巡航和停泊的排放量接近,占 SO<sub>2</sub> 排放总量的 78.8%.由于停泊时船舶大气污染物排放量最大,同时在路

程相同情况下低速巡航状态下的污染物排放低于巡 航状态,因此岸电的使用和控制区内降低航速能有 效降低船舶大气污染物的排放.

#### 表 8 2018 年进出港船舶不同工况下各污染物排放分担率/%

Table 8 Different air pollutant emission contribution rates

	for o	different oper	ation modes/	%	
状态	$\mathrm{PM}_{10}$	$\mathrm{NO}_x$	$\mathrm{SO}_2$	CO	HC
巡航	43. 9	33. 3	38. 1	25. 8	27. 7
低速巡航	16.6	15.7	16.4	12.8	15.4
机动操控	11.0	5. 2	4. 1	5. 5	9. 3
锚泊	3.5	0.6	0.7	0.5	0.8
停泊	25.0	45. 2	40.7	55. 4	46. 8
合计	100	100	100	100	100

#### 2.4 船舶大气污染物排放的时空变化特征

#### 2.4.1 船舶大气污染物排放的日变化规律

根据 AIS 的船舶进出港时间分布情况,统计

进出港船舶污染物排放的日变化特征(见图 6,以NO<sub>x</sub>为例). 结果表明,各污染物排放量基本上从凌晨 03:00 开始呈上升态势并于 9:00 达到最高峰值,至下午 16:00 均处于排放高峰值期间;各污染物最大值与最小值之比在 1.5~2.0 之间,进出港船舶的污染物排放高峰期处于本市大气扩散条件较好的时段,削弱了船舶污染物排放高峰时段对市区环境空气质量的影响; 16:00 之后船舶污染物排放量呈现较大幅度的下降,减轻了晚交通高峰期间的污染叠加程度,但船舶排放的污染物在扩散条件较差的时间段(20:00~23:00)对市区环境空气质量的影响比较明显,特别是夏季风期间夜间海陆风环流的作用明显,容易在市区出现污染物的积累而形成上半夜污染较严重的情形.

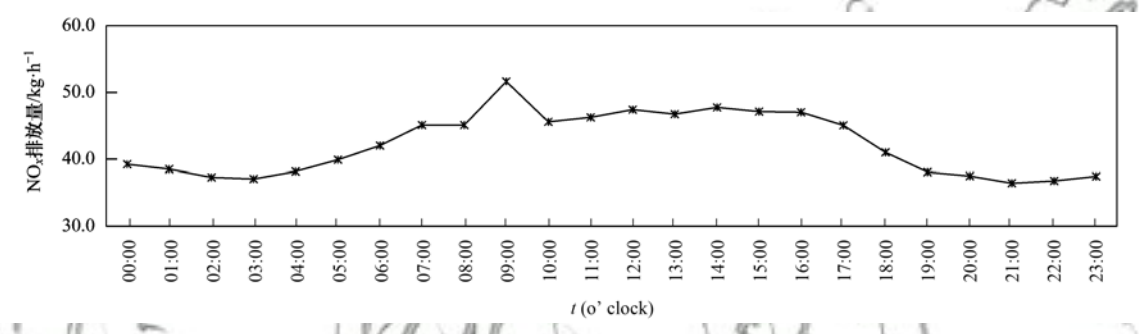


图 6 2018 年厦门港进出港船舶 NO<sub>x</sub> 排放日变化特征

Fig. 6 Diurnal variation characteristics of NO<sub>x</sub> emissions from vessels entering and leaving Xiamen Port in 2018

#### 2.4.2 船舶大气污染物排放的月变化规律

按月统计船舶污染物排放水平(见图7,以NO<sub>x</sub>和SO<sub>2</sub>为例)发现,1 a 中各污染物的月变化规律一致,全年以2月的排放量为最低,与春节期间船舶活动量减少相关,并与江苏省的船舶大气污染物排放的月变化规律<sup>[26]</sup>一致;1、4和7月的排放量也相对较低,全年出现两个污染物排放峰值分别为3月和5月,由于春季的大气扩散条件为全年最差,这个季节船舶大气污染物排放对环境空气质量的影响相

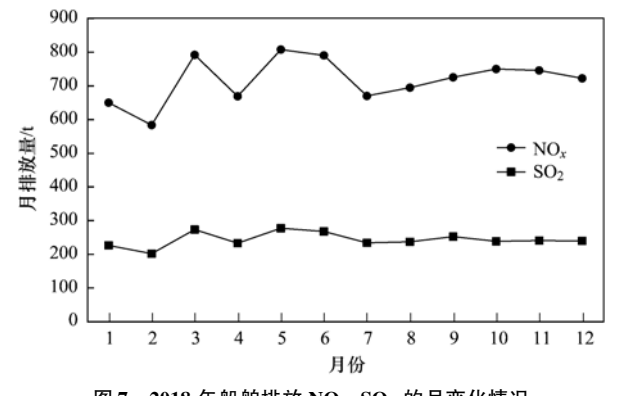


图 7 2018 年船舶排放  $NO_x$ 、 $SO_2$  的月变化情况

Fig. 7 Monthly variation characteristics of  $NO_x$  and  $SO_2$  emissions in 2018

对较大.

#### 2.4.3 船舶大气污染物排放的空间分布特征

根据上述计算的各类型船舶的污染物排放量,结合 AIS 的船舶航行轨迹数据,在船舶控制区内创建 100m×100m 尺度的格网化污染物排放数据库,利用 ArcGIS 技术进行可视化处理(图 8).

由船舶污染物排放的空间分布可见,控制区内船舶污染物排放的空间分布规律与船舶的航行轨迹和航行工况密切相关,各污染物排放高值主要分布于主航道、东渡港区和海沧港区的海岸线上(该区域的高排放是船舶停泊过程的排放所致),本研究结果与谭建伟等<sup>[25]</sup>关于大连海域远洋船舶污染物排放空间分布特征具有相似性.

#### 2.5 不确定性分析

对于船舶信息完全匹配的船只,计算结果准确可靠;对于按不同类型船舶平均状态匹配的船只,计算结果会产生偏差,因这部分船舶仅占船舶总数的3.9%,整体偏差水平较小.本文根据 AIS 的船舶航行轨迹数据,获取了近5000万个进出港船舶的计算数据、近2000万个未进港船舶的计算数据,船舶航行工况可信度较高.为检验船舶大气污染物排放

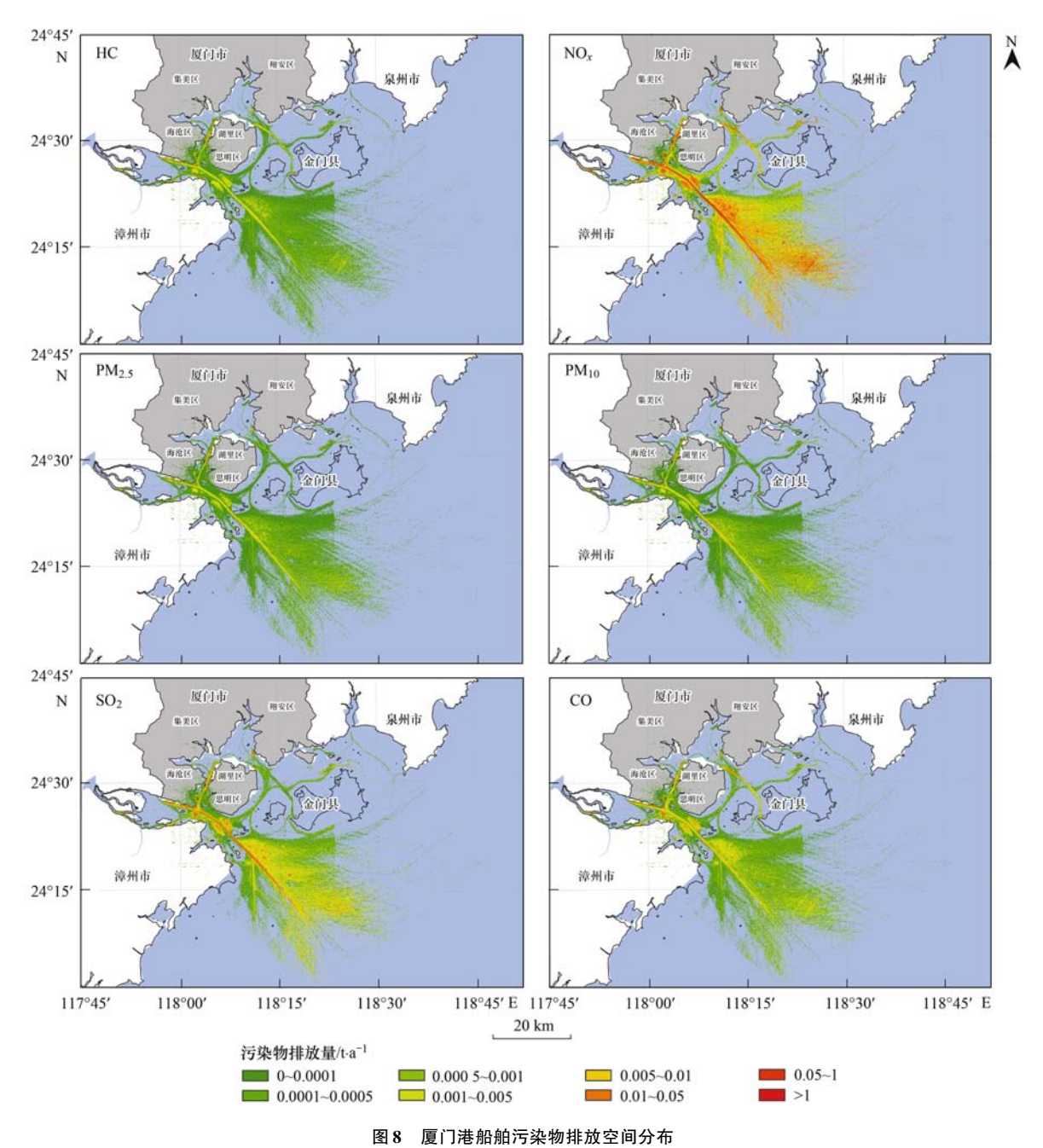


Fig. 8 Spatial distribution of the total ship emission in Xiamen Port

清单的准确性,本文选择 2000 年制造、发动机额定功率 255 kW、额定转速1 000 r·min<sup>-1</sup>、额定航速 10 节的渔船、正常航速 7~8 节时的燃烧室温度为  $400^{\circ}$ C、单缸最大排气量 4.5 L 的渔业船舶和使用硫含量为0. 086 4% 轻质柴油进行实船测试,当船舶发动机输出功率为 122 kW 时,实测  $NO_x$  平均浓度1 468 mg·m<sup>-3</sup>、标干流量 978 m<sup>3</sup>·h<sup>-1</sup>、排放量为 1.44 kg·h<sup>-1</sup>,以基准排放因子按燃油修正系数和主机负荷比计算的  $NO_x$  排放量为 1.48 kg·h<sup>-1</sup>,两者相差 2.8%,可见本文在船舶污染源排放清单的统计过程中所选择的基准排放因子和本地化处理过程科学合理,能比较准确地反映厦门的船舶尾气排放情况.

#### 3 结论

(1)2018 年厦门市船舶控制区内的船舶污染物排放总量 16 413 t,进出港船舶污染物排放总量 16 413 t,进出港船舶污染物排放占82.2%、未进港船舶占17.8%,各污染物年排放量为:  $PM_{10}$  592 t、 $PM_{2.5}$  491 t、 $NO_x$  10 544 t、 $SO_2$  2 816 t、CO 1 755 t、HC 706 t,以  $NO_x$  的排放量最大,占比达64.2%,控制区内船舶的主要污染来源于货船,并以集装箱船的污染物排放量为最大;经船舶污染物排放因子实测验证,厦门市船舶大气污染物排放清单核算科学可靠.

(2)各航行工况下污染物排放量的顺序为:停泊>巡航>低速巡航>机动操控>锚泊,不同航行

工况下的污染物排放具有明显的特征,其中,巡航状态排放量占比较大的污染物有  $PM \setminus SO_2$  和  $NO_x$ ; 而停泊状态排放量占比较大的污染物是  $CO \setminus HC$  和  $NO_x$ ;  $SO_2$  的排放具有特殊性,巡航和停泊的排放量接近,占  $SO_2$  排放总量的 78.8%. 岸电的使用、油品质量的提升、控制区内降低航速均能有效减少船舶大气污染物排放.

(3)船舶污染物排放具有明显的时空特征.进出港船舶排放的各污染物基本上在9:00 出现峰值,且09:00~16:00处于船舶污染物排放高峰期、16:00之后船舶污染物排放量呈现较大幅度的下降,污染物排放高峰期处于当地大气扩散条件较好期间,有利于污染物的扩散;船舶污染物排放的最小值出现在03:00,但上半夜的污染物排放对市区环境空气质量的影响较明显;全年以2月的排放量为最低,3月和5月出现排放峰值、加大了春季的污染压力;同时控制区内各污染物排放高值主要分布于主航道和港区海岸线上.

#### 参考文献:

- [1] Minguillón M C, Arhami M, Schauer J J, et al. Seasonal and spatial variations of sources of fine and quasi-ultrafine particulate matter in neighborhoods near the Los Angeles-Long Beach harbor [J]. Atmospheric Environment, 2008, 42(32): 7317-7328.
- [2] 王延龙,李成,黄志炯,等. 2013 年中国海域船舶大气污染物排放对空气质量的影响[J]. 环境科学学报, 2018, 38 (6): 2157-2166.
  - Wang Y L, Li C, Huang Z J, et al. Impact of ship emissions on air quality over Chinese waters in 2013 [J]. Acta Scientiae Circumstantiae, 2018, 38(6): 2157-2166.
- [ 3 ] Zhang Y, Yang X, Brown R, et al. Shipping emissions and their impacts on air quality in China [ J ]. Science of the Total Environment, 2017, 581-582; 186-198.
- [4] Aliabadi A A, Staebler R M, Sharma S. Air quality monitoring in communities of the Canadian Arctic during the high shipping season with a focus on local and marine pollution [J]. Atmospheric Chemistry and Physics, 2015, 15(5): 2651-2673.
- [5] 朱倩茹,廖程浩,王龙,等. 基于 AIS 数据的精细化船舶排放清单方法[J]. 中国环境科学,2017,37(12):4493-4500.
  - Zhu Q R, Liao C H, Wang L, et al. Application of fine vessel emission inventory compilation method based on AIS data[J]. China Environmental Science, 2017, 37(12): 4493-4500.
- [6] 刘启明,方梦圆,曹湘怡,等. 2006—2015 年厦门港船舶大 气污染物排放清单的初步估算[J]. 生态环境学报,2016, 25(9):1483-1486.
  - Liu Q M, Fang M Y, Cao X Y, et al. Establishment of vessels air pollutant emission inventory in Xiamen port during 2006—2015[J]. Ecology and Environmental Sciences, 2016, 25(9): 1483-1486.
- [7] 王征,张卫,彭传圣,等. 中国近周边海域船舶排放清单及排放特征研究[J]. 交通节能与环保, 2018, 14(63): 11-15. Wang Z, Zhang W, Peng C S, et al. Study on characteristics of ship emissions from surrounding China seas [J]. Energy Conservation & Environmental Protection in Transportation, 2018, 14(63): 11-15.

- [8] Jalkanen J P, Brink A, Kalli J, et al. A modelling system for the exhaust emissions of marine traffic and its application in the Baltic Sea area[J]. Atmospheric Chemistry and Physics, 2009, 9(23): 9209-9223.
- [9] Maragkogianni A, Papaefthimious S. Evaluating the social cost of cruise ships air emissions in major ports of Greece [J]. Transportation Research Part D: Transport and Environment, 2015, 36: 10-17.
- [10] Tichavska M, Tovar B. Port-city exhaust emission model; an application to cruise and ferry operations in Las Palmas Port[J]. Transportation Research Part A; Policy and Practice, 2015, 78; 347-360.
- [11] Group Starcrest Consulting, LLC. The port of Los Angeles inventory of air emissions for calendar year 2012 [R]. Los Angeles: Starcrest Consulting Group, LLC, 2012. 37-55.
- [12] Archana A, Guiselle A, Anderson B, et al. Port of Los Angeles air emissions inventory-2009, ADP #050520-525 [R]. LLC, Poulsbo: Starcrest Consulting Group, 2011.
- [13] 叶斯琪,郑君瑜,潘月云,等.广东省船舶排放源清单及时 空分布特征研究[J]. 环境科学学报,2014,34(3);537-547.
  - Ye S Q, Zheng J Y, Pan Y Y, et al. Marine emission inventory and its temporal and spatial characteristics in Guangdong Province [J]. Acta Scientiae Circumstantiae, 2014, 34(3): 537-547.
- [14] 杨静, 尹佩玲, 叶斯琪, 等. 深圳市船舶排放清单与时空特征研究[J]. 环境科学, 2015, 36(4): 1217-1226.

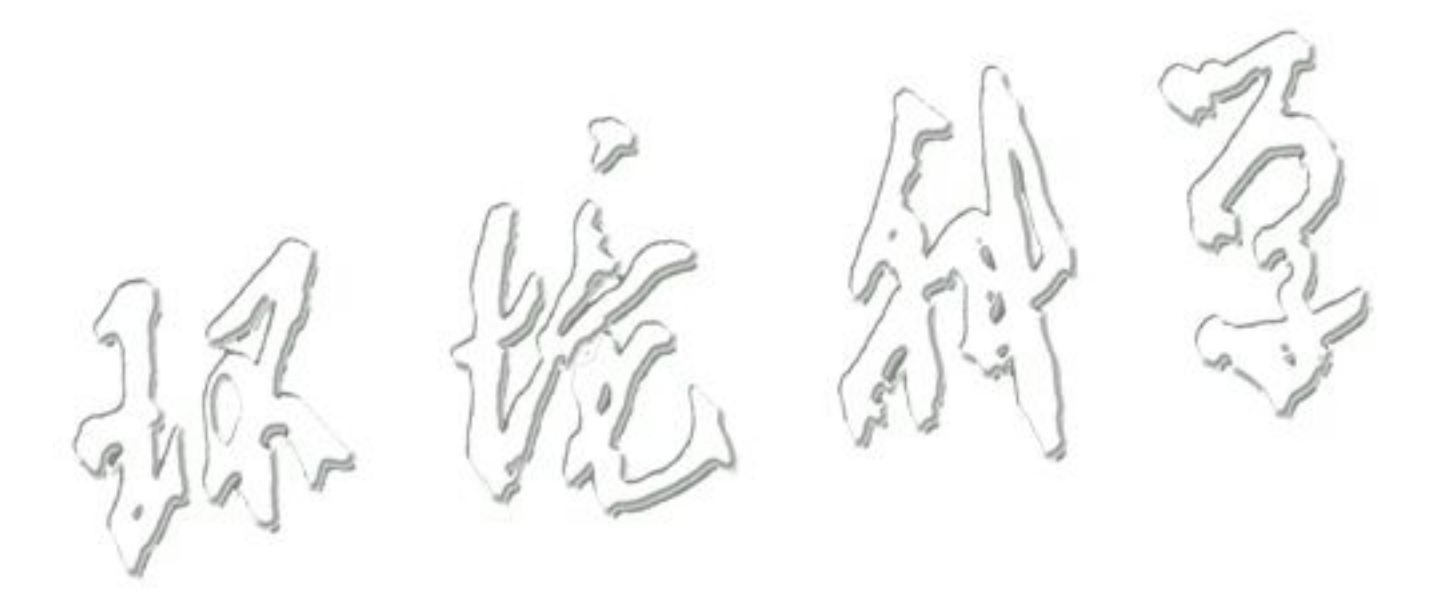
  Yang J, Yin P L, Ye S Q, et al. Marine emission inventory and its temporal and spatial characteristics in the city of Shenzhen [J]. Environmental Science, 2015, 36(4): 1217-1226.
- [15] 伏晴艳, 沈寅, 张健. 上海港船舶大气污染物排放清单研究 [J]. 安全与环境学报, 2012, 12(5): 57-64.
  Fu Q Y, Shen Y, Zhang J. On the ship pollutant emission inventory in Shanghai port [J]. Journal of Safety and Environment, 2012, 12(5): 57-64.
- [16] Yang D Q, Kwan S H, Lu T, et al. An emission inventory of marinevessels in Shanghai in 2003 [J]. Environmental Science & Technology, 2007, 41(15); 5183-5190.
- [17] Song S. Ship emissions inventory, social cost and eco-efficiency in Shanghai Yangshan port [J]. Atmospheric Environment, 2014, 82: 288-297.
- [18] 张意, Michel A, 李东,等. 天津市非道路移动源污染物排放 清单开发[J]. 环境科学, 2017, **38**(11): 4447-4453. Zhang Y, Michel A, Li D, *et al.* Development of a non-road mobile source emissions inventory for Tianjin[J]. Environmental Science, 2017, **38**(11): 4447-4453.
- [19] 吕建华, 付飞, 左华, 等. 青岛市船舶废气排放清单及应用 [J]. 环境保护科学, 2019, **45**(5): 107-115. Lyu J H, Fu F, Zuo H, *et al.* Ship emission inventory and its application in Qingdao [J]. Environmental Protection Science, 2019, **45**(5): 107-115.
- [20] 尹佩玲,黄争超,郑丹楠,等. 宁波-舟山港船舶排放清单及时空分布特征[J]. 中国环境科学,2017,37(1):27-37. Yin P L, Huang Z C, Zheng D N, et al. Marine vessel emission and its temporal and spatial distribution characteristics in Ningbo-Zhoushan port [J]. China Environmental Science, 2017,37(1):27-37.
- [21] 张礼俊,郑君瑜, 尹沙沙, 等. 珠江三角洲非道路移动源排放清单开发[J]. 环境科学, 2010, **31**(4): 886-891.

  Zhang L J, Zheng J Y, Yin S S, *et al.* Development of non-road mobile source emission inventory for the Pearl River Delta region [J]. Environmental Science, 2010, **31**(4): 886-891.

- [22] 顾建, 王伟, 彭宜蔷, 等. 基于 STEAM 的靠港船舶大气污染物排放清单研究[J]. 安全与环境学报, 2017, **17**(5): 1963-1968.
  - Gu J, Wang W, Peng Y Q, et al. Study on vessel emission inventory based on STEAM [J]. Journal of Safety and Environment, 2017, 17(5): 1963-1968.
- [23] 中华人民共和国交通运输部. 交通运输部关于印发船舶大气 污染物排放控制区实施方案的通知[EB/OL]. http://www.gov. cn/xinwen/2018-12/20/content\_5350451. htm, 2018-11-30.
- [24] 中华人民共和国环境保护部. 非道路移动源大气污染物排放 清单编制技术指南(试行)[EB/OL]. http://www. mee. gov.

- cn/gkml/hbb/bgg/201501/t20150107 \_ 293955. htm, 2014-12-31.
- [25] 谭建伟, 宋亚楠, 葛蕴珊, 等. 大连海域远洋船舶排放清单 [J]. 环境科学研究, 2014, **27**(12): 1426-1431.

  Tan J W, Song Y N, Ge Y S, *et al.* Emission inventory of oceangoing vessels in Dalian Coastal area [J]. Research of Environmental Sciences, 2014, **27**(12): 1426-1431.
- [26] 徐文文,殷承启,许雪记,等. 江苏省内河船舶大气污染物排放清单及特征[J]. 环境科学, 2019, 40(6): 2595-2606. Xu W W, Yin C Q, Xu X J, et al. Vessel emission inventories and emission characteristics for inland rivers in Jiangsu Province [J]. Environmental Science, 2019, 40(6): 2595-2606.



# **HUANJING KEXUE**

Environmental Science (monthly)

Vol. 41 No. 8 Aug. 15, 2020

## **CONTENTS**

Comparison Analysis of the Effect of Emission Reduction Measures for Major Events and Heavy Air Pollution in the Capital ZH	
$ \label{thm:condition} Evaluation of Different \ ISORROPIA- \ II \ \ Modes \ and \ the \ Influencing \ Factors \ of \ Aerosol \ pH \ Based \ on \ Tianjin \ Online \ Data \ \cdots $	
Emission Characteristics of Particulate Organic Matter from Cooking	LI Yuan-ju, WU Ai-hua, TONG Meng-xue, et al. (3467)
Characteristics and Sources of 12 Trace Amount Elements in PM <sub>2.5</sub> During a Period of Heavy Pollution in Huanggang, Central China	
Aerosol Optical Properties over the Ebinur Region	ZHANG Zhe, DING Jian-li, WANG Jin-jie (3484)
Characteristics of Secondary Organic Particles and the Potential Formation of SOA from VOCs During Wintertime Heavy Pollution Episo	des in Tianjin · · · · · · · · · · · · · · · · · · ·
	······· XU Hong, TANG Miao, XIAO Zhi-mei, et al. (3492)
Characteristics and Source Apportionment of VOCs at Different Pollution Levels During the Winter in an Urban Area in Zhengzhou	
Emission Inventory of Intermediate Volatility Organic Compounds (IVOCs) from Biomass Burning in the Yangtze River Delta During 20	10-2018 · · · · · · · · · · · · · · · · · · ·
	···· ZHU Yong-hui, WANG Qian, HUANG Ling, et al. (3511)
Emission Characteristics of Biogenic Volatile Compounds (BVOCs) from Common Greening Tree Species in Northern China and Their	Correlations with Photosynthetic Parameters
	·· XU Yan, LI Shuang-jiang, YUAN Xiang-yang, et al. (3518)
Characteristics of Surface Ozone and Impact Factors at Different Station Types During the Autumn in Guangzhou	
Pollution Characteristics and Sensitivity Analysis of Atmospheric Ozone in Taian City	LI Kai, LIU Min, MEI Ru-bo (3539)
Pollution Characteristics and Health Risk Assessment of Heavy Metals in Road Dust from Non-ferrous Smelting Parks	FENG Yu-yao, SHI Jian-wu, ZHONG Yao-qian, et al. (3547)
Pollution and Source Analysis of Heavy Metal in Surface Dust from Xi'an University Campuses	
Monitoring Method of Total Particulate Matter in Ultra-low-emission and High-humidity Exhaust Gas from Stationary Sources and an Act	
Vessels' Air Pollutant Emissions Inventory and Emission Characteristics in the Xiamen Emission Control Area	
Method for High-resolution Emission Inventory for Road Vehicles in Chengdu Based on Traffic Flow Monitoring Data	· · · · · · · · · · · · · · · · · · ·
Inversion of Water Quality Parameters Based on UAV Multispectral Images and the OPT-MPP Algorithm	
Effects of Different Water Stratification on the Vertical Distribution of Nitrogen in Sediment Interstitial Waters: A Case Study of the Th	
	····· III ling-si ZHI Xiao-sheng HI Zi-long et al. (3601)
Pollution Status and Pollution Behavior of Microplastic in Surface Water and Sediment of Urban Rivers	
Spatial and Temporal Variation of Phytoplankton Community Structure and Its Influencing Factors in Shanghai River Channels	
Restoration of River Sediment by Calcium Peroxide (CaO <sub>2</sub> ) Combined with Biochar	
Quantification of Nitrate Sources to Groundwater in Karst Trough-valley Areas Based on Dual Stable Isotopes of $\delta^{15}$ N-NO <sub>3</sub> <sup>-</sup> and $\delta^{18}$ O-N	
Quantification of Nitrate Sources to Groundwater in Karst Trough-variety Areas based on Dutai Stable Isotopes of 6 18-1803 and 6 0-18	O <sub>3</sub> and the isosource model
Dynamic Process of Nitrogen and Phosphorus Export and Loss Load in an Intensive Orchard with Ridge and Furrow Plantation in the Th	
Dynamic rrocess of Autogen and Fhosphorus Export and Loss Load in an intensive Orchard with Rudge and Furrow Frantation in the 1n	WANG Volume LILLOW And (2646)
Analysis of Rainfall Runoff Pollution and Pollution Load Estimation for Urban Communities in a Highly Urbanized Region	
Adsorption of As( III ) in Water by Iron-loaded Graphene Oxide-Chitosan	
Adsorption of As( iii ) in water by Iron-toaded Graphene Oxide-Unitosan Z.  Sorption Behaviors of Copper Ions and Tetracycline on Microplastics in Aqueous Solution XU.	
Sorption benaviors of Copper ions and Tetracycline on Micropiastics in Aqueous Solution AU  Effect of Porous Fillers Properties on Biofilm Growth	
Adaptability of Nitrifying Biofilm Systems to Low Temperature: MBBR and IFAS	
Improved on Nitrogen Removal of Anaerobic Ammonia Oxidation by Coupling Element Sulfur-based Autotrophic Short-cut Denitrification	
Nitrogen and Phosphorus Removal from Domestic Sewage Aerobic Granular Sludge Under Intermittent Gradient Aeration	
Rapid Start-up and Stability of Partial Denitrification Based on Different Waste Sludge Sources ZH.	
Decision-making Analysis of Excess Sludge Pretreatment for Struvite Recovery Based on AHP-PROMETHEE II Method	
Effect on Ammonia Inhibition Mitigation in the Anaerobic Digestion Process with Zero-Valent Iron	
Performance of Anaerobic Membrane Bioreactors for the Co-digestion of Sewage Sludge and Food Waste	
Antibiotics Induce Horizontal Gene Transfer of Resistance at Sublethal Concentrations	
Impact of Tetracycline Antibiotic on the Transcriptional Expression of Tetracycline Resistance Genes in Shigella flexneri	
Competitive Selection of Hydroxylamine on Ammonia Oxidizing Bacteria and Nitrite Oxidizing Bacteria	
Analysis of the Effect of Temperature on the Microbial Flora Structure During the Nitrite Oxidation Process Using 16S rRNA High-through	ghput Sequencing
Universality and Potential Application of Mn( II ) Oxidation Triggered by Microbial Interspecies Interactions	
Distribution and Potential Nitrification Rates of Aerobic Ammonia-Oxidizing Microorganisms in Surface Sediments of Mangrove in Sanya	River
Effects of Ozone Pollution on Growth, Yields, and Mineral Metallic Element Contents of Paddy Rice	
Short Term Effects of a Changing Carbon Input on the Soil Respiration of Picea schrenkiana Forests in the Tianshan Mountains, Xinjian	9
Effects of the Combined Application of Organic and Inorganic fertilizers on N <sub>2</sub> O Emissions from Saline Soil	
Mechanism and Influencing Factors of Increasing Soil Temperature by in-situ Electrical Resistance Heating	
Acid Mine Wasteland Reclamation by Juncus ochraceus Buchen as a Potential Pioneer Plant	·· HUANG Jian-hong, FU Jiang-li, YAN Xin-rui, et al. (3829)
Effects of Drip Irrigation Patterns and Biochar Addition on Soil Mineral Nitrogen and Microbial Regulation of Greenhouse	
Effects of Cotton Stalk Biochar on the Structure and Function of Fungi Community in Alkaline Rhizosphere Soil of Rice Under Cadmium	Pollution ····
	· LIU Shi-dou, HAN Yao-guang, ZHU Xin-ping, et al. (3846)
$Effects \ of \ Different \ Treatments \ with \ Water \ Management \ Combined \ with \ Leaf \ Spraying \ Silicon \ Fertilizer \ on \ Cd \ Accumulation \ in \ Rice \cdots$	WEI Bin-yun, ZHOU Hang, LIU Jia-wei, et al. (3855)
Effects of Chelate GLDA on the Remediation of Cadmium Contaminated Farmland by Pennisetum purpureum Schum	QIN Jian-jun , TANG Sheng-shuang , JIANG Kai , $\it et~al.~(3862)$
Situation Analysis and Trend Prediction of the Prevention and Control Technologies for Planting Non-Point Source Pollution	· YU Ying-liang, YANG Lin-zhang, LI Hong-na, et al. (3870)